

# DIFERENCIAS FINITAS

## PROBLEMAS ESTACIONARIOS II

Modelación computacional en las ciencias y las ingenierías como  
apoyo en el proceso enseñanza-aprendizaje  
(PAPIME-PE101019)

Instituto de Geofísica  
Universidad Nacional Autónoma de México



Esta obra está bajo una [Licencia Creative Commons Atribución-NoComercial-CompartirIgual 4.0 Internacional](#).



- ① CALIBRACIÓN 1.  
Ejercicio 3.
- ② CALIBRACIÓN 2: CONDICIONES TIPO NEUMMAN  
Aproximación I.  
Aproximación II.  
Aproximación III.  
Aproximación IV.  
Ejercicio 4.
- ③ CALIBRACIÓN 3: CONDUCTIVIDAD VARIABLE  
Ejercicio 5.
- ④ REFERENCIAS
- ⑤ CRÉDITOS

# CONTENIDO

- ① CALIBRACIÓN 1.  
Ejercicio 3.
- ② CALIBRACIÓN 2: CONDICIONES TIPO NEUMMAN  
Aproximación I.  
Aproximación II.  
Aproximación III.  
Aproximación IV.  
Ejercicio 4.
- ③ CALIBRACIÓN 3: CONDUCTIVIDAD VARIABLE  
Ejercicio 5.
- ④ REFERENCIAS
- ⑤ CRÉDITOS

## MODELO MATEMÁTICO

Considere el siguiente problema:

$$\begin{aligned}\frac{d^2T(x)}{dx^2} + \omega^2 T(x) &= 0 \quad x \in [0, 1] \\ T(0) &= 1 \\ T(1) &= 1\end{aligned}\tag{1}$$

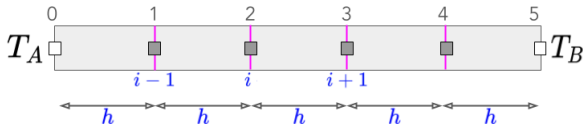
cuya solución analítica es:  $T(x) = \frac{1 - \cos(\omega)}{\sin(\omega)} \sin(\omega x) + \cos(\omega x)$

donde  $\omega = \text{constante}$ .

# MODELO NUMÉRICO

Recordemos que la segunda derivada se puede aproximar como sigue (véase la figura como referencia):

$$\left. \frac{d^2 T}{dx^2} \right|_i = \frac{T_{i+1} - 2T_i + T_{i-1}}{h^2} + \mathcal{O}(h^2) \quad (2)$$



Usando (2) en (1) obtenemos

$$\frac{T_{i+1} - 2T_i + T_{i-1}}{h^2} + \omega T_i = 0$$

que podemos escribir como:

$$-T_{i+1} + (2 - \omega/r_i)T_i - T_{i-1} = 0$$

donde  $r_i = \frac{\kappa_i}{h^2}$  y en este caso  $\kappa_i = 1, \forall i$ .

# MODELO NUMÉRICO

El sistema lineal para este caso, para cualquier  $N$ , es:

$$\underbrace{\begin{bmatrix} 2 - \omega/r & -1 & 0 & 0 & \dots & 0 \\ -1 & 2 - \omega/r & -1 & 0 & \dots & 0 \\ 0 & -1 & 2 - \omega/r & -1 & \dots & 0 \\ \vdots & \ddots & \ddots & \ddots & \ddots & \vdots \\ 0 & \dots & 0 & -1 & 2 - \omega/r & -1 \\ 0 & \dots & 0 & 0 & -1 & 2 - \omega/r \end{bmatrix}}_{\mathbf{A}_{N \times N}} \underbrace{\begin{bmatrix} T_1 \\ T_2 \\ T_3 \\ \vdots \\ T_{N-1} \\ T_N \end{bmatrix}}_{\mathbf{T}_N} = \frac{1}{r} \underbrace{\begin{bmatrix} S_1 \\ S_2 \\ S_3 \\ \vdots \\ S_{N-1} \\ S_N \end{bmatrix}}_{\mathbf{b}_N} + \underbrace{\begin{bmatrix} T_A \\ 0 \\ 0 \\ \vdots \\ 0 \\ T_B \end{bmatrix}}$$

donde  $r = \frac{\kappa}{h^2}$  y  $S_i = 0, \forall i$ .

### EJERCICIO 3.

- 1 Resuelva el problema numéricamente usando diferencias finitas.

# CONTENIDO

- ① CALIBRACIÓN 1.  
Ejercicio 3.
- ② CALIBRACIÓN 2: CONDICIONES TIPO NEUMMAN  
Aproximación I.  
Aproximación II.  
Aproximación III.  
Aproximación IV.  
Ejercicio 4.
- ③ CALIBRACIÓN 3: CONDUCTIVIDAD VARIABLE  
Ejercicio 5.
- ④ REFERENCIAS
- ⑤ CRÉDITOS



## MODELO MATEMÁTICO

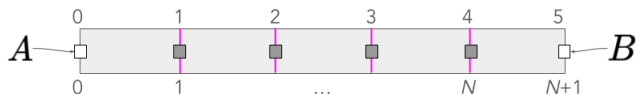
Considere el siguiente problema:

$$\begin{aligned}\frac{d^2 u(x)}{dx^2} &= e^x \quad x \in [0, 1] \\ \frac{du}{dn}(0) &= 0 \\ u(1) &= 3\end{aligned}$$

cuya solución analítica es:  $u(x) = e^x - x - e + 4$

A continuación mostramos cuatro aproximaciones que se pueden usar para incorporar las condiciones de tipo Neumman en el sistema lineal.

# APROXIMACIÓN DE PRIMER ORDEN, SISTEMA DE $(N + 1) \times (N + 1)$



$$u_0 = A$$

$$u_0 - 2u_1 + u_2 = r^{-1}f_1$$

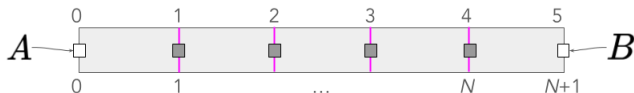
$$\Rightarrow \boxed{-2u_1 + u_2 = r^{-1}f_1 - A}$$

$$\left. \frac{\partial u}{\partial n} \right|_{N+1} = B \Rightarrow \frac{u_{N+1} - u_N}{h} = B$$

$$\Rightarrow \boxed{-u_N + u_{N+1} = hB}$$

$$\Rightarrow \underbrace{\begin{bmatrix} -2 & 1 & 0 & \dots & 0 & 0 \\ 1 & -2 & 1 & \dots & 0 & 0 \\ \vdots & \ddots & \ddots & \ddots & \vdots & \vdots \\ 0 & \dots & 1 & -2 & 1 & 0 \\ 0 & \dots & 0 & 1 & -2 & 1 \\ 0 & \dots & 0 & 0 & -1 & 1 \end{bmatrix}}_{(N+1) \times (N+1)} \begin{bmatrix} u_1 \\ u_2 \\ \vdots \\ u_{N-1} \\ u_N \\ u_{N+1} \end{bmatrix} = \frac{1}{r} \begin{bmatrix} f_1 \\ f_2 \\ \vdots \\ f_{N-1} \\ f_N \\ 0 \end{bmatrix} + \begin{bmatrix} -A \\ 0 \\ \vdots \\ 0 \\ 0 \\ hB \end{bmatrix}$$

donde  $f(x) = e^x$ , por lo tanto  $f(x_i) = f_i = e^{x_i}$

APROXIMACIÓN DE PRIMER ORDEN, SISTEMA DE  $N \times N$ 

$$u_0 = A$$

$$u_0 - 2u_1 + u_2 = r^{-1}f_1$$

$$\Rightarrow -2u_1 + u_2 = r^{-1}f_1 - A$$

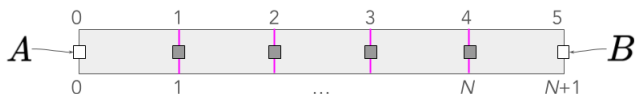
$$\left. \frac{\partial u}{\partial n} \right|_{N+1} = B \Rightarrow u_{N+1} = hB + u_N$$

$$u_{N-1} - 2u_N + u_{N+1} = r^{-1}f_N$$

$$\Rightarrow u_{N-1} - u_N = r^{-1}f_N - hB$$

$$\Rightarrow \underbrace{\begin{bmatrix} -2 & 1 & 0 & 0 & \dots & 0 \\ 1 & -2 & 1 & 0 & \dots & 0 \\ 0 & 1 & -2 & 1 & \dots & 0 \\ \vdots & \ddots & \ddots & \ddots & \ddots & \vdots \\ 0 & 0 & 0 & 1 & -2 & 1 \\ 0 & 0 & 0 & 0 & 1 & -1 \end{bmatrix}}_{N \times N} \begin{bmatrix} u_1 \\ u_2 \\ u_3 \\ \vdots \\ u_{N-1} \\ u_N \end{bmatrix} = \frac{1}{r} \begin{bmatrix} f_1 \\ f_2 \\ f_3 \\ \vdots \\ f_{N-1} \\ f_N \end{bmatrix} + \begin{bmatrix} -A \\ 0 \\ 0 \\ \vdots \\ 0 \\ -hB \end{bmatrix}$$

## APROXIMACIÓN DE SEGUNDO ORDEN USANDO TRES PUNTOS



$$u_0 = A.$$

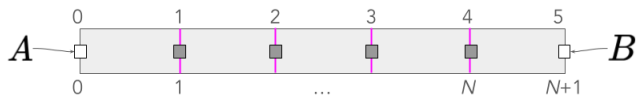
$$u_0 - 2u_1 + u_2 = r^{-1}f_1$$

$$\Rightarrow -2u_1 + u_2 = r^{-1}f_1 - A$$

$$\left. \frac{\partial u}{\partial n} \right|_{N+1} = \frac{1}{h} \left( \frac{1}{2}u_{N-1} - 2u_N + \frac{3}{2}u_{N+1} \right) = B$$

$$\Rightarrow \underbrace{\begin{bmatrix} -2 & 1 & 0 & \dots & 0 & 0 \\ 1 & -2 & 1 & \dots & 0 & 0 \\ \vdots & \ddots & \ddots & \ddots & \vdots & \vdots \\ 0 & \dots & 1 & -2 & 1 & 0 \\ 0 & \dots & 0 & 1 & -2 & 1 \\ 0 & \dots & 0 & \frac{1}{2} & -2 & \frac{3}{2} \end{bmatrix}}_{(N+1) \times (N+1)} \begin{bmatrix} u_1 \\ u_2 \\ \vdots \\ u_{N-1} \\ u_N \\ u_{N+1} \end{bmatrix} = \frac{1}{r} \begin{bmatrix} f_1 \\ f_2 \\ \vdots \\ f_{N-1} \\ f_N \\ 0 \end{bmatrix} + \begin{bmatrix} -A \\ 0 \\ \vdots \\ 0 \\ 0 \\ hB \end{bmatrix}$$

## APROXIMACIÓN DE SEGUNDO ORDEN CON DIFERENCIAS CENTRALES



$$u_0 = A.$$

$$u_0 - 2u_1 + u_2 = r^{-1}f_1$$

$$\Rightarrow \boxed{-2u_1 + u_2 = r^{-1}f_1 - A}$$

$$u_N - 2u_{N+1} + u_{N+2} = r^{-1}f_{N+1}$$

$$\left. \frac{\partial u}{\partial n} \right|_{N+1} = \frac{(u_{N+2} - u_N)}{2h} = B \Rightarrow u_{N+2} = 2hB + u_N$$

$$\Rightarrow \boxed{u_N - u_{N+1} = \frac{1}{2r}f_{N+1} - hB}$$

$$\Rightarrow \underbrace{\begin{bmatrix} -2 & 1 & 0 & \dots & 0 & 0 \\ 1 & -2 & 1 & \dots & 0 & 0 \\ \vdots & \ddots & \ddots & \ddots & \vdots & \vdots \\ 0 & \dots & 1 & -2 & 1 & 0 \\ 0 & \dots & 0 & 1 & -2 & 1 \\ 0 & \dots & 0 & 0 & 1 & -1 \end{bmatrix}}_{(N+1) \times (N+1)} \begin{bmatrix} u_1 \\ u_2 \\ \vdots \\ u_{N-1} \\ u_N \\ u_{N+1} \end{bmatrix} = \frac{1}{r} \begin{bmatrix} f_1 \\ f_2 \\ \vdots \\ f_{N-1} \\ f_N \\ f_{N+1}/2 \end{bmatrix} + \begin{bmatrix} -A \\ 0 \\ \vdots \\ 0 \\ 0 \\ -hB \end{bmatrix}$$

## EJERCICIO 4.

① aaa

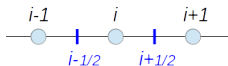
# CONTENIDO

- ① CALIBRACIÓN 1.  
Ejercicio 3.
- ② CALIBRACIÓN 2: CONDICIONES TIPO NEUMMAN  
Aproximación I.  
Aproximación II.  
Aproximación III.  
Aproximación IV.  
Ejercicio 4.
- ③ CALIBRACIÓN 3: CONDUCTIVIDAD VARIABLE  
Ejercicio 5.
- ④ REFERENCIAS
- ⑤ CRÉDITOS

# MODELO MATEMÁTICO Y NUMÉRICO

Considere la ecuación de Poisson con  $\kappa$  variable y condiciones de frontera de tipo Dirichlet:

$$\frac{d}{dx} \left( \kappa \frac{du}{dx} \right) = f \quad \text{con} \quad \kappa = \kappa(x) \quad (3)$$



Definimos  $g = \kappa \frac{du}{dx}$  por lo tanto  $\frac{d}{dx} \left( \kappa \frac{du}{dx} \right) = \frac{dg}{dx}$ . Esta derivada se puede aproximar como sigue (véase la figura):

$$\left. \frac{dg}{dx} \right|_i = \frac{g_{i+\frac{1}{2}} - g_{i-\frac{1}{2}}}{h} = \frac{\left[ \kappa \frac{du}{dx} \right]_{i+\frac{1}{2}} - \left[ \kappa \frac{du}{dx} \right]_{i-\frac{1}{2}}}{h} \quad (4)$$

$$\left[ \kappa \frac{du}{dx} \right]_{i+\frac{1}{2}} = \kappa_{i+\frac{1}{2}} \left[ \frac{u_{i+1} - u_i}{h} \right] = \frac{1}{h} \left[ \kappa_{i+\frac{1}{2}} u_{i+1} - \kappa_{i+\frac{1}{2}} u_i \right] \quad (5)$$

$$\left[ \kappa \frac{du}{dx} \right]_{i-\frac{1}{2}} = \kappa_{i-\frac{1}{2}} \left[ \frac{u_i - u_{i-1}}{h} \right] = \frac{1}{h} \left[ \kappa_{i-\frac{1}{2}} u_i - \kappa_{i-\frac{1}{2}} u_{i-1} \right] \quad (6)$$



# MODELO NUMÉRICO

Usando (4), (5) y (6) en (3) obtenemos:

$$\boxed{\frac{1}{h^2} \left[ \kappa_{i+\frac{1}{2}} u_{i+1} - (\kappa_{i+\frac{1}{2}} + \kappa_{i-\frac{1}{2}}) u_i + \kappa_{i-\frac{1}{2}} u_{i-1} \right] = f_i} \quad (7)$$

Condiciones de frontera tipo Dirichlet:  $u_0 = A$  y  $u_{N+1} = B$

$$i = 1 \quad \Rightarrow \quad \kappa_{1+\frac{1}{2}} u_2 - (\kappa_{1+\frac{1}{2}} + \kappa_{1-\frac{1}{2}}) u_1 = h^2 f_1 - \kappa_{1-\frac{1}{2}} A$$

$$i = N \quad \Rightarrow \quad -(\kappa_{N+\frac{1}{2}} + \kappa_{N-\frac{1}{2}}) u_N + \kappa_{N-\frac{1}{2}} u_{N-1} = h^2 f_N - \kappa_{N+\frac{1}{2}} B$$

Donde  $\kappa_{i+\frac{1}{2}}$  y  $\kappa_{i-\frac{1}{2}}$  se pueden aproximar de varias maneras, por ejemplo:

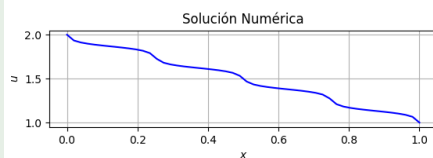
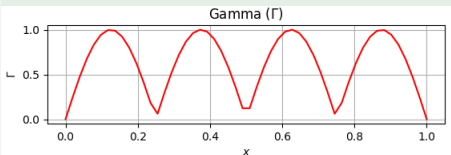
$$\text{Promedio aritmético:} \quad \kappa_{i+\frac{1}{2}} = \frac{\kappa_{i+1} + \kappa_i}{2} \quad \text{y} \quad \kappa_{i-\frac{1}{2}} = \frac{\kappa_{i-1} + \kappa_i}{2}$$

$$\text{Media armónica:} \quad \kappa_{i+\frac{1}{2}} = \frac{2\kappa_{i+1}\kappa_i}{\kappa_{i+1} + \kappa_i} \quad \text{y} \quad \kappa_{i-\frac{1}{2}} = \frac{2\kappa_{i-1}\kappa_i}{\kappa_{i-1} + \kappa_i}$$

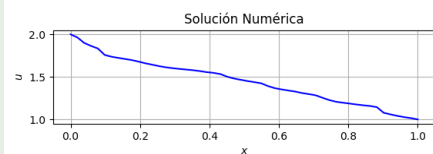
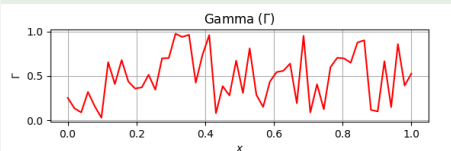
## EJERCICIO 5.

Reproducir los siguientes casos:

①  $L = 1, N = 50, A = 2.0, B = 1.0, \kappa = |\sin(4\pi x)|$








②  $L = 1, N = 50, A = 2.0, B = 1.0, \kappa = \text{random}(x)$



# CONTENIDO

- ① CALIBRACIÓN 1.  
Ejercicio 3.
- ② CALIBRACIÓN 2: CONDICIONES TIPO NEUMMAN  
Aproximación I.  
Aproximación II.  
Aproximación III.  
Aproximación IV.  
Ejercicio 4.
- ③ CALIBRACIÓN 3: CONDUCTIVIDAD VARIABLE  
Ejercicio 5.
- ④ REFERENCIAS
- ⑤ CRÉDITOS

-  [1] Bergman, T.L. and Incropera, F.P. and DeWitt, D.P. and Lavine, A.S., *Fundamentals of Heat and Mass Transfer*, Wiley, **2011**.
-  [2] R.J. Leveque, *Finite Difference Method for Ordinary and Partial Differential Equations: Steady State and Time-Dependent Problems*, Society for Industrial and Applied Mathematics (SIAM), Philadelphia, **2007**.
-  [3] Y. Saad  
*Iterative Methods for Sparse Linear Systems*.  
PWS/ITP 1996.  
Online: <http://www-users.cs.umn.edu/~saad/books.html>, **2000**
-  [4] Richard Burden and J. Douglas Faires  
*Numerical Analysis*  
Cengage Learning; 9 edition (August 9, **2010**)
-  [5] I. Herrera & G. F. Pinder,  
*Mathematical Modeling in Science and Engineering: An Axiomatic Approach*, John Wiley **2012**.

# CONTENIDO

- ① CALIBRACIÓN 1.  
Ejercicio 3.
- ② CALIBRACIÓN 2: CONDICIONES TIPO NEUMMAN  
Aproximación I.  
Aproximación II.  
Aproximación III.  
Aproximación IV.  
Ejercicio 4.
- ③ CALIBRACIÓN 3: CONDUCTIVIDAD VARIABLE  
Ejercicio 5.
- ④ REFERENCIAS
- ⑤ CRÉDITOS

**Dr. Luis M. de la Cruz Salas**

Departamento de Recursos Naturales

Instituto de Geofísica

Universidad Nacional Autónoma de México



Trabajo realizado con el apoyo del Programa UNAM-DGAPA-PAPIME PE101019

